

## بررسی کاربرد نانوذرات تیتانیوم دی اکسید در بهبود مقاومت استحکامبخش پلیوینیل بوتیرال دربرابر قارچ پوسیدگی سفید چوب

دانیال هرندي<sup>\*</sup> حسین احمدی<sup>\*\*</sup> محسن محمدی آچاچلویی<sup>\*\*\*</sup>

### چکیده

پلیمرهای سنتزی به طور گسترده به صورت چسب‌ها، استحکام‌بخش‌ها و پوشش‌های حفاظتی در مرمت آثار تاریخی مورد استفاده قرار می‌گیرند. هرچند این مواد نسبت به پلیمرها و چسب‌های طبیعی مقاومت بهتری دربرابر میکرووارگانیسم‌ها دارند اما اکثر پلیمرهای سنتزی منبع مناسبی از کربن و انرژی لازم برای رشد میکرووارگانیسم‌ها به شمار می‌روند. ضمن اینکه، آثار هنری استحکام‌بخشی شده با این مواد همچنان مورده حمله قارچ و کپک قرار گرفته و تخریب می‌شوند. عوامل محیطی و نور ماوراء بنفس نیز به تخریب این مواد سرعت می‌بخشند. بنابراین، نیاز به روشی جهت جلوگیری از هجوم میکرووارگانیسم‌ها، همچنین افزایش مقاومت آنها دربرابر عوامل محیطی امری ضروری است. در این پژوهش، جهت ایجاد خواص ضدقارچی در استحکام‌بخش پلیوینیل بوتیرال (PVB) از فوتوكاتالیست نانوذرات تیتانیوم دی اکسید استفاده شد.

نمونه‌ها از چوب کبوهه با توجه به دستورالعمل Bravery آماده شدند و با نانوکامپوزیت تیتانیوم دی اکسید در پلیوینیل بوتیرال تحت شرایط خلا، تیمار شدند؛ سپس جداگانه در شرایط تاریک و زیر نور، به مدت ۷ هفته تحت تأثیر قارچ رنگین کمان به عنوان مولد پوسیدگی سفید چوب قرار داده شدند. نمونه تیمار شده و بدون تیمار تحت پیرسازی تسریعی دما، رطوبت و نور UV قرار گرفتند. نتایج نشان داد که نمونه‌چوب‌های تیمار شده با میزان مصرفی یک درصد از نانوذرات  $TiO_2$  (۴٪/گرم) در PVB ۵ درصد، در شرایط بدون نور اثر ضدقارچی نداشت. اما مقدار ۲ درصد از آن (۸٪/گرم) در شرایط تاریکی، توانست از تخریب چوب دربرابر پوسیدگی سفید محافظت کند. نمونه‌های کشتشده در شرایط نور، در هر دو میزان مصرفی ۱ و ۲ درصد از  $TiO_2$  توانست در نمونه‌های تیمار شده با نانوکامپوزیت خاصیت ضدقارچی ایجاد کند و از چوب دربرابر قارچ مولد پوسیدگی سفید محافظت نماید. پیرسازی تسریعی نمونه‌های بدون تیمار و تیمار شده تحت شرایط پیرسازی دما، رطوبت و نور UV، نشان‌دهنده محافظت نمونه‌های تیمار شده در مقابل نور ماوراء بنفس و شرایط محیطی بودند.

**کلید واژگان:** نانوذرات تیتانیوم دی اکسید، نانوکامپوزیت، پلیوینیل بوتیرال، قارچ رنگین کمان، پوسیدگی سفید، چوب، حفاظت.

\* کارشناس ارشد مرمت اشیاء فرهنگی تاریخی، دانشکده حفاظت و مرمت، دانشگاه هنر اصفهان (نویسنده مسئول)

daniel.harandi@gmail.com

\*\* دانشیار مرمت اشیاء فرهنگی تاریخی، دانشکده حفاظت و مرمت، دانشگاه هنر اصفهان.

\*\*\* استادیار، دانشکده حفاظت و مرمت، دانشگاه هنر اصفهان.

مقدمة

آثار چوبی بهدلیل ساختار آلی و آسیب‌پذیر، به مرور در معرض بعضی از عوامل محیطی، تخریب شده و از بین می‌روند. در این میان، عوامل بیولوژیک و بهخصوص قارچ‌های مولد پوسیدگی از عوامل آسیب‌رسان به این گونه آثار بهشمار رفته و باعث افت خواص فیزیکی و مکانیکی چوب می‌شوند. در فرایندهای حفاظتی از استحکام‌بخش<sup>۱</sup> ها جهت بهبود ویژگی‌های استحکامی چوب استفاده می‌شود. با این وجود، این گونه مواد از تخریب چوب در برابر میکروارگانیسم‌ها جلوگیری نمی‌کنند. آثار چوبی استحکام‌بخشی شده با این مواد مرمتی، مورد حمله عوامل بیولوژیک قرار می‌گیرند. این مسئله بهدلیل ساختار آلی اکثر استحکام‌بخش‌هاست (Heyn et al., 1996).

باينکه از پلی وینیل بوتیرال (PVB) و پارالوئید به منظور استحکام بخشی آثار چوبی استفاده شده است اما استحکام بخشی چوب با PVB ویژگی های بهتری نسبت به پارالوئید B72 داشته است (Wang et al., 1985; Schniewind, 1998). در این میان، پارالوئید B72 نسبت به PVB، مقاومت کمتری در تخریب زیستی از خود نشان داده است (Koestler et al., 1988).

تحقیقات انجام شده روی چوب های استحکام بخشی شده با پارالوئید B72، پلی وینیل بوتیرال و موولیلت در مقابل بوسیدگی سفید نشان می دهد که چوب های تیمار شده با آنها مورد حمله و تخریب قرار می گیرند (محمدی آچاچلوی، ۱۳۹۱: ۶۹). بسیاری از پلیمرها مستعد تخریب توسط میکروارگانیسم ها هستند (Gu, 2003; Mohan, 2011; Leja & Lewandowicz, 2005; Bastioli, 2010) و با گذشت زمان به دلیل عوامل شیمیایی، فیزیکی و شرایط محیطی تخریب می گردند (Corning, 1998). استحکام بخش های پلی ایزو بوتیل متاکریلات<sup>۱</sup> و پلی لاوریل متاکریلات<sup>۲</sup> که استحکام بخش سنگ های تاریخی اند، خود بستره مناسب را برای رشد قارچ ها فراهم می نمایند. وینیلی مانند پلی وینیل استال، پلی وینیل کلراید و پلی وینیل بوتیرال، نشان دهنده رشد قارچ روی آنها بوده است. با این حال، پلی وینیل بوتیرال مقاومت بهتری نسبت به سایر مواد وینیلی از خود نشان داده است (Inoue, 1983; Roberts et al., 1986; Hamilton et al., 1983).

پلیمرهای سنتزی نسبت به پلیمرها و چسبهای طبیعی از مقاومت بهتری برخوردارند اما اکثر پلیمرهای سنتزی منبع مناسبی از کربن و انرژی لازم برای رشد میکروارگانیسم‌ها به شمار می‌روند. آن چنان‌که در صورت مساعده بودن شرایط دما و رطوبت، میکروارگانیسم‌ها به آنها حمله می‌کنند و در یک فرایند آنزیمی و شیمیابی

موجب تحریب پلیمرهای طبیعی و سنتزی می‌شوند. تحقیقات انجام شده روی استحکام بخش‌هایی از قبیل اکریلیک‌ها، پلی‌اورتان و اپوکسی نشان می‌دهد که هیچ‌یک از آنها در مواجه با حملات میکرووارگانیسم‌ها مقاوم نیستند (Gu, 2003; Mohan, 2011).

مرمتگران از رزین‌های سنتزی مانند پلی‌وینیل الكل، پلی‌وینیل استال، پارالوئید B72 و پلی‌وینیل بوتیرال به طور گستردۀ به عنوان چسب و استحکام‌بخش‌ها استفاده می‌کنند. تصور بر این است که این رزین‌ها کمتر در برابر عوامل بیولوژیک تخرب می‌شوند؛ اما گزارش‌های زیادی درباره تخرب آنها به وسیله میکروارگانیسم‌ها در آثار تاریخی دیده شده است (Cappitelli et al., 2007 & 2008; Leja, 2010).

باتوجهه به کاربرد زیاد مواد سنتزی در مرمت و تخریب آنها در معرض عوامل محیطی و میکرووارگانیسم‌ها، استفاده از روش‌های نوین برای جلوگیری از حمله قارچ‌ها و عوامل بیولوژیک و ضد قارچ نمودن استحکام‌بخش‌ها، امروزی، ضروری است.

در این پژوهش از فناوری نانو در حفاظت و نگهداری آثار چوبی بهره گرفته شده است. همچنین، نقش نانوذرات  $TiO_2$  جهت ایجاد خواص ضدقارچی و محافظت در استحکام پخش PVB موردارزی پایا، قرار خواهد گرفت.

بنابر آنچه بیان شد، مهم‌ترین اهدافی که در این تحقیق دنبال می‌شوند، عبارتند از: ۱. ارزیابی کارآیی نانوذرات  $TiO_2$  در پلی‌وینیل بوتیرال به عنوان استحکام‌بخشی مقاوم دربرابر پوسیدگی سفید چوب ۲. بررسی تأثیر نانو کامپوزیت  $TiO_2^{+}PVB$  در ساختار آثار جویم.

پژوهش پیشینه

از اوایل قرن بیستم از پودر  $TiO_2$  به عنوان رنگدانه استفاده شده است و امروزه از آن برای ضد عفونی و گندزدایی پوشش دهنده های سطح و تصفیه آب استفاده می شود. دانش اثر ضدمیکروبی  $TiO_2$  چندان جدید نبوده و اولین تحقیقات Sequeira et al., (2012) منتشر شده مربوط به سال ۱۹۸۵ است. تحقیقات روی فعالیت های فتوکاتالیستی  $TiO_2$  از سال ۱۹۵۰ میلادی شروع شده است (Ohama et al., 2011: 1-2). تیتانیوم دی اکسید دارای گاف انرژی  $\frac{2}{3}$  الکترون ولت است که می تواند نور فرابنفش را جذب کند (De Filpo et al., 2013) و با تولید رادیکال های هیدروکسیل و یون های سوپراکسید، باعث تجزیه مولکول های آلوده کننده و همچنین از بین رفتتن

نانوکامپوزیت تحت قارچ مولد پوسیدگی سفید قرار گرفتند، وزن خشک نمونه‌ها قبل و بعد از تأثیر قارچ اندازه‌گیری و درصد کاهش وزن نمونه‌ها محاسبه شد، میزان رشد قارچ و دوام نمونه‌ها طبق معیارهای موجود ارزیابی شدند درنهایت، جهت تأثیر ماده تیمار بر ساختار آثار چوبی، پیرسازی انجام گرفت و نتایج آن تحلیل گشت.

### مواد و روش‌ها

جهت بررسی میزان کارآیی ماده تیمار، معمولاً تأثیر مقاومت‌ترین قارچ‌ها روی نمونه‌های چوب با دوام طبیعی کم ارزیابی می‌شود (محمدی آچاچلویی، ۱۳۸۸: ۴۹). بدین‌منظور، برای آماده‌سازی نمونه‌ها از چوب کبوته<sup>۸</sup> که دربرابر هجوم قارچ‌ها دوام طبیعی کمی دارد، استفاده شد (Dardes, 1995:114). نمونه‌ها در ابعاد (۱۵×۱۰×۵ mm) با توجه به دستورالعمل Bravery از قسمت چوب برون<sup>۹</sup>، برش داده شدند (Bravery, 1979).

جهت ساخت نانوکامپوزیت از نانوذرات  $\text{TiO}_2$  با ساختار کریستالی آتاکاز، ساخت شرکت TECNAN با ابعاد حدود ۱۰-۱۵ نانومتر استفاده شد. برای آماده‌سازی ۵ درصد، ۲ گرم پودر PVB مارک CTS محصول کشور ایتالیا در دو بیش‌ریخته و به هر کدام از آنها تا حجم ۴۰ میلی‌لیتر، اتانول مارک Scharlau، محصول کشور اسپانیا اضافه شد و به مدت ۶ ساعت در دمای اتاق قرار گرفت. جهت جلوگیری از تبخیر اتانول، روی بشر پوشانده شد. برای دستیابی به میزان مصرفی مؤثر جهت ایجاد فعالیت ضد قارچی در نمونه‌ها، دو میزان ۱ و ۲ % درصد از نانوذرات  $\text{TiO}_2$  بررسی شدند. در بشر اول و دوم، به ترتیب ۴ / ۰ و ۸ / ۰ گرم نانوذرات  $\text{TiO}_2$  اضافه شد. ابتدا با میله شیشه‌ای به خوبی هم زد، سپس به مدت ۲۰ دقیقه در دستگاه آلتراسونیک قرار گرفت. برای اطمینان از نفوذ کامل ماده تیمار در نمونه‌ها، چوب‌ها در شرایط خلاً ۷ mbar به مدت نیم ساعت تیمار شدند و اجازه داده شد در دمای آزمایشگاه خشک گردد. سپس در آون با دمای  $103 \pm 2$  درجه سانتی‌گراد به مدت ۲۴ ساعت خشک و توزین شدند. تعدادی از نمونه‌ها بدون استحکام‌بخش پلی‌وینیل بوتیرال با دیسپرسیون الکلی نانوذرات تیتانیوم دی‌اکسید ۱ و ۲ درصد مانند روش بالا تحت شرایط خلاً، تیمار شدند.

برای ارزیابی سنجش خاصیت ضدقارچی نانوکامپوزیت از قارچ رنگین‌کمان با نام علمی *Trametes versicolor*, مولد پوسیدگی سفید چوب استفاده شد. نمونه‌ها در محیط مالت اکسترکت آگار<sup>۱۰</sup> با دمای ۲۲ درجه سانتی‌گراد و رطوبت نسبی ۶۵ درصد، با ۵ بار تکرار در هر آزمون، کشت داده شدند. این

میکروارگانیسم‌ها می‌شود (Sequeira et al., 2012). از این خاصیت تیتانیوم دی‌اکسید به عنوان عامل ضرباًکتری و ضدقارچی استفاده می‌شود (Kangwansupamonkon et al., 2009; Maness et al., 1999; Sunada et al., 2003; Kim et al., 2008; Maneerat & Hayata, 2006 تیتانیوم دی‌اکسید چند کاربردی<sup>۱</sup> بوده و از آن در ساخت لامپ‌ها، دستگاه‌های نوری و مواد ساختمانی خود تمیزشونده (Honda et al., 1998; Benedix et al., 2000; Stamate) (Lazar, 2007 Wong et al., 2006; Uddin et al., 2007; Snyder et al., 2013; Daoud et al., 2005).

هرندی و همکاران (۱۳۹۳)، در مقاله مروری "کاربردهای نانوذرات دی‌اکسید تیتانیوم در حفاظت و نگهداری اشیای دارای ساختار سلولزی"<sup>۱۱</sup> به معرفی کاربردهای نانوذرات تیتانیوم دی‌اکسید در آثار سلولزی پرداخته‌اند. از لایه‌نشانی شیشه با نانوذرات  $\text{TiO}_2$ ، جهت ساخت محفظه‌های نگهداری اسناد کاغذی و حفاظت آنها دربرابر نور UV استفاده شده است. نتایج نشان می‌دهد نمونه‌های قرار گرفته در این محفظه‌ها اکسیداسیون کمتری نسبت به محفظه‌های بدون لایه‌نشانی دارند و باعث کاهش رشد قارچ شده‌اند (حدادی، ۱۳۸۹). همچنین، تأثیر حفاظتی نانوکامپوزیت سلولزی کلوسل (پوشش هیدروکسی پروپیل سلولز و سپس اسپری دی‌اکسید تیتانیوم) روی اشیای هنری کاغذی مورد بررسی قرار گرفته است (Afsharpour & Malekian, 2011). اخیراً از نانوکامپوزیت مشکل از هیدروکسی اتیل سلولز، نانوذرات  $\text{TiO}_2$  همراه با نانوذرات اسیدزدای هیدروکسید منیریم ( $\text{Mg}(\text{OH})_2\text{-TiO}_2$ ) برای اسیدزدایی و حفاظت آثار کاغذی در مقابل عوامل بیولوژیک و نور مضر UV استفاده شده است (Wang et al., 2013).

هرچند در زمینه حفاظت آثار چوبی، از نانوذرات دی‌اکسید تیتانیوم (De Filpo et al., 2013) و نانوذرات نقره (محمدی آچاچلویی، ۱۳۸۸) جهت حفاظت از قارچ پوسیدگی سفید و قارچ پوسیدگی قهوه‌ای<sup>۱۲</sup> استفاده شده اما گزارشی درباره استفاده از نانوذرات دی‌اکسید تیتانیوم در استحکام‌بخش‌ها و مواد تیمارکننده چوب به عنوان ماده بازدارنده تخریب زیستی و محافظت دربرابر عوامل محیطی و نور ماوراء بنفش ارائه نشده‌است.

### روش پژوهش

در این پژوهش روش تحقیق به صورت‌های علمی و توصیفی است؛ تجزیه و تحلیل داده‌ها هم به دو صورت کمی و کیفی انجام شده است. مراحل انجام تحقیق بدین‌گونه بود که نخست نمونه‌ها با چوب موردنظر آماده شدند، نمونه‌ها پس از تیمار با

نشان داده شده است. چوب‌های بدون تیمار بعد از ۷ هفته قرارگیری تحت قارچ رنگین کمان، به‌طور میانگین ۲۷/۴۸ درصد و چوب‌های تیمارشده با PVB ۵ درصد به‌طور میانگین ۳۴/۸۶ کاهش جرم داشتند. این حالت، نشان‌دهنده تخریب PVB بالای نمونه‌های بدون تیمار و تیمار با استحکام‌بخش بوده است. نمونه‌های استحکام‌بخشی شده با PVB ۵ درصد، کاهش جرم بیشتری نسبت به نمونه بدون تیمار داشتند. نمونه‌چوب‌های استحکام‌بخشی شده با PVB، مقاومتی دربرابر قارچ پوسیدگی سفید ایجاد نکرده و براساس معیار فایندلی،

پرسنلیتی محسوب می شود (تصویرشی ۱ و ۲).  
میانگین کاهش جرم نمونه های تیمار شده با نانو کامپوزیت  
۱٪ در محیط نور لامپ،  $1/56$  درصد بود و قارچ رشد بسیار  
کمی بر نمونه ها داشت (تصویر ۴، الف). کاهش جرم نمونه های  
تیمار شده با نانو کامپوزیت ۲٪ در همین شرایط کشت، به طور



تصویر ۱. (الف): تعدادی از نمونه‌های چوب شاهد بدون تیمار،  
(ب): نمونه‌ها پس از تیمار با نانو کامپوزیت (نگارندگان)

جدول ۱. (الف): طبقه‌بندی دوام چوب در برابر قارچ در شرایط آزمایشگاهی براساس معیار فایندلی (ب): میزان رشد قارچ براساس معیار ویلیتر

آزمون به صورت جداگانه در دو شرایط بدون نور در انکوباتور و تحت شرایط نور (به دلیل ایجاد فعالیت فتوکاتالیستی  $TiO_2$ )، مدت ۷ هفته در پتری دیش طبق روش Bravery انجام گرفت. میزان رشد قارچ روی نمونه‌ها طبق جدول ۱، براساس معیار ویلیتнер اندازه‌گیری شد (Willieitner, 1965). دوام نمونه‌ها براساس معیار فاینندلی<sup>۱۱</sup> (محمدی آچاچلویی، ۱۳۸۸: ۵۰) و درصد کاهش وزن نمونه‌ها طبق این فرمول محاسبه گشت:

$$\times 100 = \frac{\text{جرم خشک پس از تأثیر قارچ} - \text{جرم خشک اولیه}}{\text{کاهش جرم}} \times 100$$

نمونه‌های مربوط به پیرسازی دما و رطوبت، مدت ۲۰ روز در دمای ۶۰ درجه سانتی گراد و ۷۵ درصد رطوبت نسبی و نمونه‌های مربوط به تأثیر نور UV در دو زمان ۶۰ و ۱۲۰ ساعت تحت پرتوافکنی UV-C مارک فیلیپس<sup>۱۲</sup> قرار گرفتند. سنجش تغییرات ساختار مولکولی نمونه‌ها به وسیله دستگاه Nicolet Nexus 470 (FTIR) مدل طیف‌سنج تبدیل فوریه (FTIR) آمریکا، متصل به نرم‌افزار OMNIC و مجهز به ابزار ثبت انعکاس کلی، تضعیف شده (ATR-FTIR) مورد بررسی قرار گرفت.

بحث و نتایج

در تصویر ۱، تعدادی از نمونه‌های چوب شاهد بدون تیمار و همچنین نمونه‌های تیمار با نانوکامپوزیت نشان داده شده‌اند. همان‌طور که مشاهده می‌شود، ماده تیمار تغییرات ظاهری در حوب ایجاد نکرده است.

در جدول ۲، نتایج به دست آمده از میزان رشد قارچ روی نمونه‌ها بر اساس معیار ویلیتیر و همچنین کاهش جرم نمونه‌ها،

الف	ب	میزان رشد قارچ	گروه	کاهش جرم (%)	طبقه‌بندی دوام
پوسیدنی	هیچ رشدی نداشته است	1	بیشتر از ۳۰		بی دوام
بی دوام	بعضی قسمت‌ها رشد دیده می‌شود (حداکثر ۱۰٪)	2a	۱۰-۳۰		
دوام متوسط	رشد قارچ در کل سطح نمونه به مقدار کم دیده می‌شود	2b	۵-۱۰		
بادوام	قارچ در بعضی قسمت‌ها خیلی زیاد رشد کرده است	3a	۱-۵		
خیلی بادوام	قارچ در تمامی نمونه رشد زیاد داشته است	3b	کمتر از ۱		
نمونه در بعضی قسمت‌ها کاملاً تخریب شده است	نمونه کاملاً تخریب شده است	4a			
		4b			

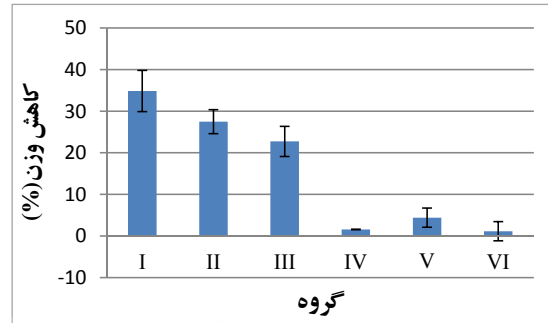
(نگارندگان)

این میزان اثر ضدقارچی در تاریکی ایجاد نکرد و طبق معیار فایندلی بی دوام هستند (تصویر ۴، پ). این در حالی است که در نمونه‌های تیمارشده تیمار با نانوکامپوزیت ۲٪ در شرایط بدون نور، کاهش جرم  $4/40$  درصد بوده و نانوذرات  $\text{TiO}_2$  در این میزان مصرفی توانسته از رشد قارچ جلوگیری به عمل آورد (تصویر ۴، ت) و با دوام به شمار می‌روند؛ اما توانایی ضدقارچی آن کمتر از شرایط کشت در شرایط نور است.

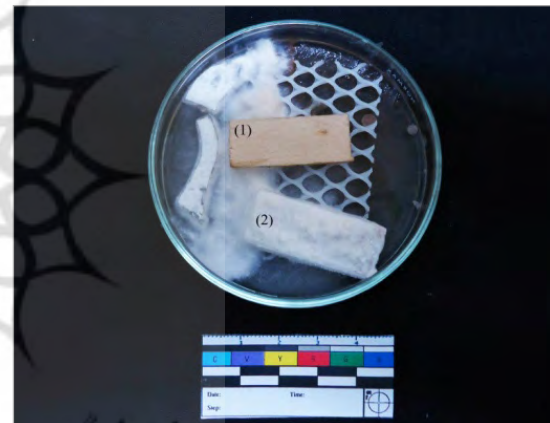
در تصویر ۵، طیف ATR-FTIR از چوب شاهد، جذب پهنه قوی در ناحیه  $\sim 3338 \text{ cm}^{-1}$ - مربوط به گروه -OH و  $1211 \text{ cm}^{-1}$ ، نشان‌دهنده C-O سلولز در حلقه پیرانوز است ( $2850 \text{ cm}^{-1}$ ,  $2919 \text{ cm}^{-1}$ ). جذب در  $1730 \text{ cm}^{-1}$  ناشی از C-H کششی و  $1739 \text{ cm}^{-1}$  مربوط به پیوند کششی غیرمزدوج C=O در زیلان (همی‌سلولز) است (Pandey, 2012). Pitman 2003; Pandey, 1999 همچنین، مربوط به C=O کششی در کتون‌های غیرمزدوج Schwanninger et al., 2004. با مقایسه طیف‌های ۱ و ۲ تغییری در نمونه چوب شاهد و چوب تیمارشده با دیسپرسیون نانوذرات  $\text{TiO}_2$  در اتانول، دیده نمی‌شود. ضمن اینکه، امکان شناسایی نانوذرات  $\text{TiO}_2$  در نمونه تیمارشده با آنالیز ATR-FTIR امکان‌پذیر نبود. در طیف ۳ که مربوط به نانوکامپوزیت تیتانیوم (Nano- $\text{TiO}_2$ +PVB) دی‌اکسید در پلی‌وینیل بوتیرال است؛ جذب در  $1742 \text{ cm}^{-1}$  مربوط به باند C=O گروه است؛ استلار و  $1180 \text{ cm}^{-1}$  مربوط به گروه C-O-C از حلقه استلار در PVB است (El-Din et al., 1995).

در تصویر ۶، طیف ATR-FTIR نمونه‌ها بعد از ۷ هفته قرارگیری در معرض قارچ مقایسه شده‌اند. شدت باند  $1740 \text{ cm}^{-1}$  در تصویر ۶، طیف ATR-FTIR نمونه‌ها بعد از ۷ هفته در تصویر ۶، طیف ATR-FTIR نمونه‌ها بعد از ۷ هفته

میانگین  $1/13$  درصد بود و قارچ هیچ رشدی در نمونه‌ها نداشت (تصویر ۴، ب). نتایج نشان می‌دهد که تیمار نمونه‌ها در هر دو میزان مصرفی  $4/0$  و  $0/8$  گرم از نانوذرات در محیط نور لامپ، اثری ضدقارچی ایجاد نموده و با دوام محسوب می‌شوند. نمونه‌های تیمارشده با نانوکامپوزیت  $1\%$  در شرایط بدون نور  $22/47$  درصد، کاهش جرم داشتند و ماده حفاظتی در



تصویر ۲. میانگین درصد کاهش وزن نمونه‌ها (نگارندگان)



تصویر ۳. رشد قارچ پوسیدگی سفید، (۱): تیمار با نانوکامپوزیت Nano- $\text{TiO}_2$  ۲٪ +PVB (۲): تیمارشده با PVB درصد (نگارندگان)

جدول ۲. بررسی درصد و میزان رشد قارچ همراه با طبقه‌بندی میزان دوام نمونه‌ها

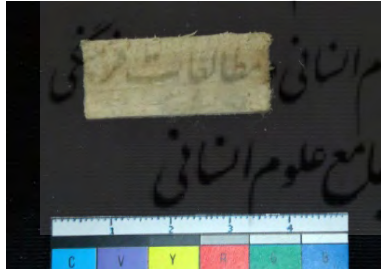
میزان دوام	درجه پوشش قارچ	کاهش جرم (%)	تیمار	گروه
پوسیدنی	3a-3b	۳۴/۸۶	تیمار با PVB ۵%	I
بی دوام	3b	۲۷/۴۸	چوب شاهد بدون تیمار	II
بی دوام	3a	۲۲/۴۷	تیمار با نانوکامپوزیت ۱٪ در شرایط بدون نور	III
بادوام	1	۱/۵۶	تیمار با نانوکامپوزیت ۱٪ زیر نور لامپ	IV
بادوام	2a	۴/۴۰	تیمار با نانوکامپوزیت ۰/۲٪ در شرایط بدون نور	V
بادوام	1	۱/۱۳	تیمار با نانوکامپوزیت ۲٪ زیر نور لامپ	VI

(نگارندگان)

مولد پوسیدگی سفید قادر است اجزای دیواره سلولی نظیر لیگنین را تخریب کند و از این جهت، بین میکرووارگانیسم‌ها منحصر به فرد است (Blanchette, 2000). برخی از قارچ‌های این نوع پوسیدگی، توانایی فوق العاده‌ای در تجزیه پکتین در مرحله ابتدایی لیگنین‌زدایی انتخابی دارند (Schwarze, 2007). پوسیدگی سفید از لحاظ مکانیسم به دو دسته هم‌زمان<sup>۱۳</sup> (غیرانتخابی) و متواالی<sup>۱۴</sup> (انتخابی) تقسیم‌بندی می‌شود. در پوسیدگی هم‌زمان که بیشتر در پهنه برگان اتفاق می‌افتد؛ تخریب سلولز، همی‌سلولز و لیگنین به طور یکنواخت و در تمامی مراحل، هم‌زمان پیش می‌رود. اما در پوسیدگی سفید متواالی، لیگنین و همی‌سلولز قبل از سلولز مورد حمله قرار می‌گیرند. این گونه از پوسیدگی در هر دو گونه چوب پهنه برگ و سوزنی برگ اتفاق افتاده و تخریب، از لایه بین سلولی شروع شده و تا دیواره ثانویه پیش می‌رود (Kubicek, 2012:31).

نتایج حاصل از طیف مادون قرمز در نمونه‌های تحت تأثیر قارچ نشان می‌دهد در کنار تخریب لیگنین، سلولز نیز تخریب شده است اما میزان آن کمتر از تخریب لیگنین بوده است. آسیب چوب در قارچ‌های مولد پوسیدگی هم‌زمان (قارچ T. versicolor نیز جزو همین گونه از قارچ تقسیم‌بندی می‌شود)، ابتدا از دیواره سلولی شروع شده و به سمت لایه بین سلولی پیش می‌رود (Ibid).

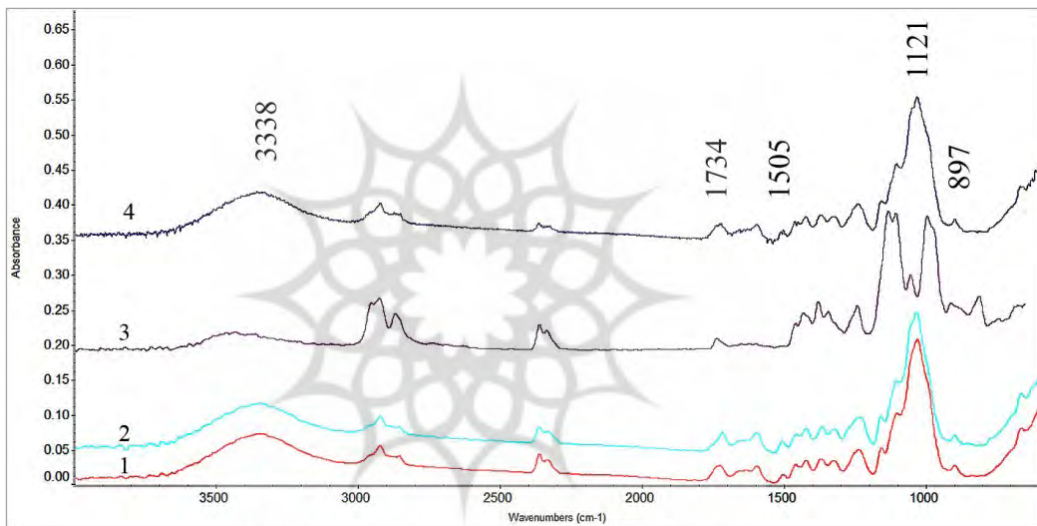
مربوط به  $\text{C}=\text{O}$  همی‌سلولز، در طیف ۱ و ۲ تغییر زیادی نکرده است. این در حالی است که در نمونه بدون تیمار (طیف ۳)، شدت این باند، کاهش یافته است. در نمونه بدون تیمار، افزایش شدت باند  $1648\text{ cm}^{-1}$  مربوط به گروه‌های کربونیل مزدوج لیگنین و همچنین کاهش شدت باند  $1505\text{ cm}^{-1}$  قابل مشاهده است. کاهش شدت  $1505\text{ cm}^{-1}$  و افزایش شدت در باند  $1648\text{ cm}^{-1}$  به دلیل کاهش بیشتر لیگنین نسبت به کربوهیدرات‌ها در نمونه بدون تیمار است. این تغییر در نمونه تیمار شده با نانوکامپوزیت دیده نمی‌شود (Pandey & Pitman, 2003). به عبارت دیگر، در چوب‌های تیمار PVB افزایش شدت باند  $1648\text{ cm}^{-1}$  و کاهش شدت در باندهای  $1505\text{ cm}^{-1}$ ،  $1596\text{ cm}^{-1}$ ،  $1505\text{ cm}^{-1}$ ، نشان‌دهنده تغییرات و کاهش واحدهای آروماتیک در طول تخریب به وسیله قارچ است (Faix et al., 1991). باند حوالی  $1326-1329\text{ cm}^{-1}$  ناشی از ارتعاش نوسانی  $\text{CH}_2$  در سلولز بوده که شدت آن در نمونه تیمار PVB افزایش یافته است (Rowell, 2012) و نشان‌دهنده تخریب سلولز در کنار تخریب لیگنین طی قرار گیری در معرض قارچ است. نام پوسیدگی سفید به دلیل گراییدن چوب به سفیدی، بعد از قرار گیری در معرض قارچ است. این قارچ‌ها بیشتر پهنه برگ را مورد آسیب قرار می‌دهند (Unger, 2001: 102). قارچ

میزان رشد قارچ بر نمونه‌ها	
کشت قارچ تحت شرایط نور	کشت در شرایط تاریک
تیمار با نانوکامپوزیت $\text{Nano-TiO}_2 1\%+\text{PVB}$  (الف)	 (پ)
تیمار با نانوکامپوزیت $\text{Nano-TiO}_2 2\%+\text{PVB}$  (ب)	 (ت)

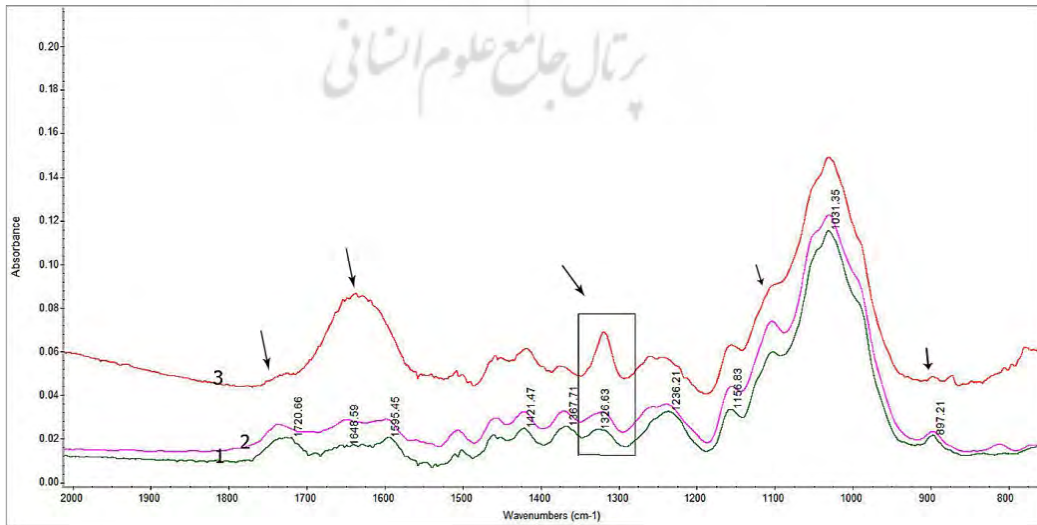
تصویر ۴. میزان رشد قارچ روی نمونه‌های تیمار شده با نانوکامپوزیت ۱ و ۲ درصد در دو محیط تاریک و در شرایط نور (نگارندگان)

در تصویر ۸، طیف ATR-FTIR مربوط به پیرسازی تسریعی دما و رطوبت مقایسه شده است. در نمونه بدون تیمار، به مرور زمان با شکل گیری گروه کربونیل، بر شدت باند  $1734\text{ cm}^{-1}$  افزوده شده است. همچنین شدت باند  $1371\text{ cm}^{-1}$  ارتعاش های مربوط به  $\text{CH}$  تغییر شکل و  $\text{O-H}$  خمی فنولی لیگنین (Rosu et al., 2010) یا  $\text{C-O-C}$  ارتعاش های مربوط به  $\text{CH}_2$  تغییر شکل و  $\text{O-H}$  خمی فنولی لیگنین (Rosu et al., 2010) کاهش یافته است. این تغییرات در نمونه های درمان شده دیده نمی شود؛ بنابراین نتایج حاصل از پیرسازی تسریعی دما و رطوبت ۲۰ روزه و ۲۰ ساعت نور UV نشان می دهد که نانو کامپوزیت توانسته از نمونه ها در مقابل عوامل محیطی محافظت نماید.

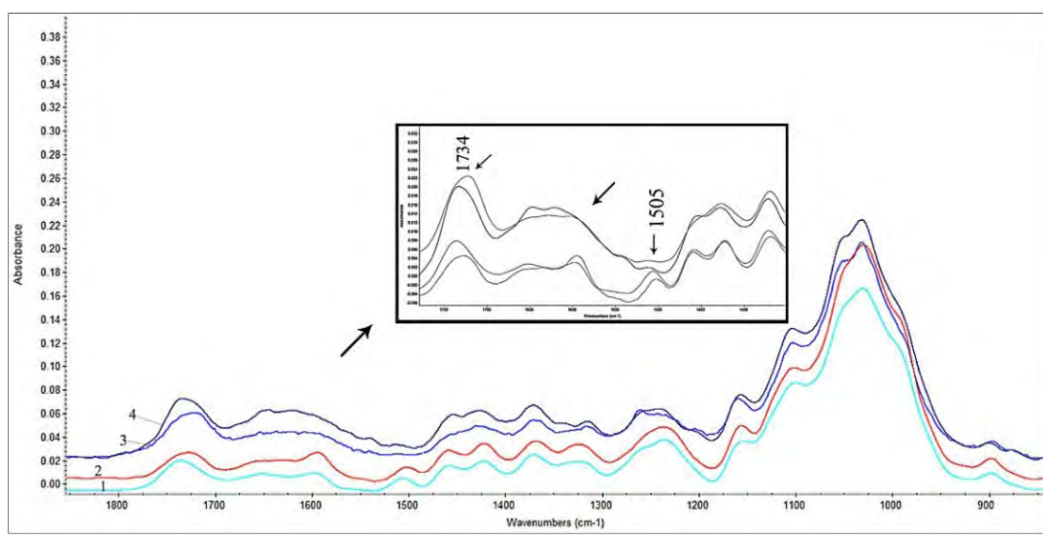
در تصویر ۷ (طیف های ۳ و ۴) نمونه بدون تیمار، بعد از ۶۰ و ۱۲۰ ساعت زیر نور UV نشان داده شده است. جذب  $1505\text{ cm}^{-1}$  که مشخصه باند لیگنین است، در طول مدت نوردهی حذف شده است. همچنین افزایش شدت جذب  $1730\text{ cm}^{-1}$ ، ناشی از شکل گیری گروه های کربونیل جدید و فتواسیدیاسیون در سطح نمونه های بدون تیمار است. در طیف ۲، نمونه تیمار با نانو کامپوزیت٪ ۲، عدم تغییرات در  $1505\text{ cm}^{-1}$  و  $1600\text{ cm}^{-1}$  دیده نمی شود؛ عدم تغییرات در  $1505\text{ cm}^{-1}$  و  $1600\text{ cm}^{-1}$  مربوط به ارتعاشات اسکلت آروماتیک، نشان دهنده عدم تغییرات ساختاری لیگنین هنگام قرار گیری زیر نور UV است. بنابراین، نتایج حاصل از پیرسازی، محافظت نمونه های تیمار در برابر نور UV را نشان می دهد.



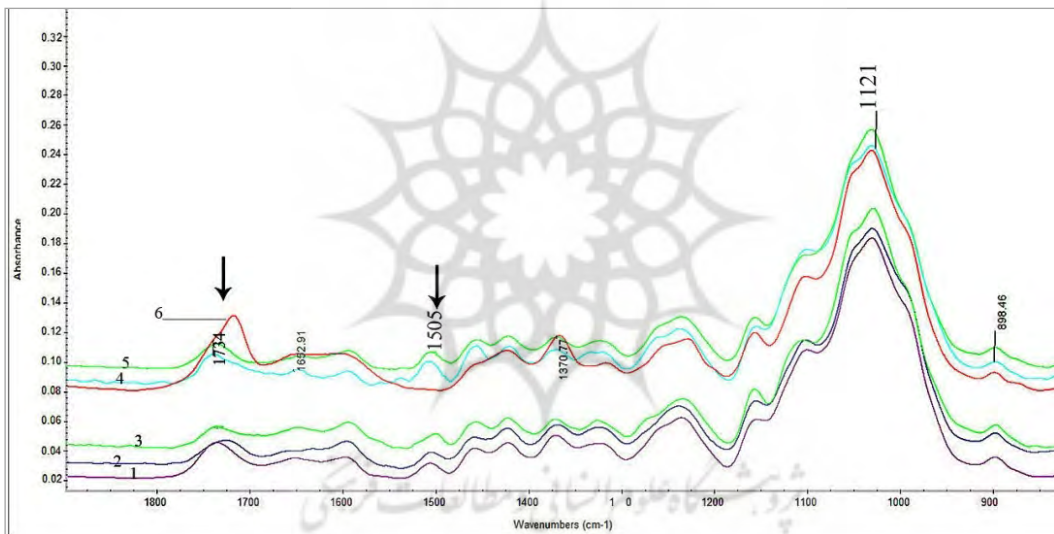
تصویر ۵. مقایسه طیف ATR-FTIR (۱): چوب شاهد بدون تیمار، (۲): تیمار چوب با دیسپرسیون الكلی نانوذرات  $\text{TiO}_2$ ، (۳): نانو کامپوزیت٪ ۲ Nano- $\text{TiO}_2$ +PVB2% (نگارندگان)، (۴): تیمار چوب با نانو کامپوزیت Nano- $\text{TiO}_2$ +PVB2% (نگارندگان)



تصویر ۶. مقایسه طیف ATR-FTIR نمونه ها بعد از ۷ هفته قرار گیری در معرض قارچ Trametes versicolor. (۱): چوب شاهد بدون تیمار، (۲): نمونه تیمار با نانو کامپوزیت ۲ درصد پس از تأثیر قارچ، (۳): نمونه بدون تیمار پس از تأثیر قارچ (نگارندگان)



تصویر ۷. طیف ATR-FTIR پیرسازی تسریعی نور، (۱): طیف چوب شاهد تیمارشده با نانوکامپوزیت ۲ درصد، (۲): چوب تیمارشده با نانوکامپوزیت ۲ درصد پس از ۱۲۰ ساعت، (۳ و ۴): بهتریب چوب بدون تیمار پس از ۱۲۰ و ۶۰ ساعت (نگارندگان)



تصویر ۸. مقایسه طیف ATR-FTIR نمونه‌ها بعد از پیرسازی تسریعی دما و رطوبت، (۱): طیف چوب شاهد تیمارشده با نانوکامپوزیت ۲ درصد، (۲ و ۳): بهتریب چوب تیمارشده با نانوکامپوزیت ۲ درصد پس از ۱۰ و ۲۰ روز پیرسازی، (۴): چوب شاهد بدون تیمار، (۵ و ۶): بهتریب نمونه بدون تیمار بعد از ۱۰ و ۲۰ روز پیرسازی (نگارندگان)

## نتیجه‌گیری

پلیمرهای سنتزی مورداستفاده در مرمت اشیای فرهنگی - تاریخی توسط عوامل بیولوژیک تجزیه شده و شیء تیمارشده را دربرابر میکروارگانیسم‌ها و نور مضر UV محافظت نمی‌کند. بنابر کاربرد زیاد مواد سنتزی در مرمت و تخریب آنها، استفاده از روش‌های نوین جهت جلوگیری از حمله قارچ‌ها و باکتری‌ها و ضدقارچ‌نمودن استحکامبخش‌ها، امری ضروری است. در این مطالعه نقش فتوکاتالیست نانوذرات  $TiO_2$  جهت ایجاد خواص ضدقارچی و حفاظت از عوامل محیطی در استحکامبخش PVB شناسایی شد.

نتایج نشان می‌دهد که نانوکامپوزیت یک درصد ( $TiO_2$  ۵٪ در PVB) در شرایط کشت در محیط تاریک، عامل ضدقارچی ضعیفی دارد؛ اما همین میزان در شرایط نور عامل ضدقارچی خوبی داشته و چوب را دربرابر قارچ پوسیدگی سفید محافظت می‌نماید. ۲٪ از نانوذرات تیتانیوم دی اکسید ( $TiO_2$  ۰٪ گرم) در استحکامبخش

PVB درصد، می‌تواند حتی در شرایط تاریک اثر ضدقارچی ایجاد نماید. همین میزان مصرفی زیر نور، بهترین نتیجه را جهت ایجاد فعالیت ضدقارچی دارد. در شرایط بدون نور هرچند فعالیت فتوکاتالیستی نسبت به محیط دارای نور کمتر است اما با توجه به کاهش رشد قارچ می‌توان گفت، چوب‌های تیمار با نانوکامپوزیت ۲٪ ماده‌ای نامناسب برای تغذیه قارچ پوسیدگی سفید شده‌اند و این عمل، به فعالیت ضدقارچی نانوکامپوزیت کمک کرده است. تصاویر SEM نیز، نشان‌دهنده عدم تخریب دیواره سلولی در نمونه‌های تیمار با نانوکامپوزیت ۲٪ است.

مقایسه طیف‌های ATR-FTIR نمونه‌های تحت تأثیر قارچ بعد از ۷ هفته، نشان می‌دهد که نانوکامپوزیت مذکور توانسته از تخریب چوب جلوگیری کند و نقش حفاظتی ایفا نماید. همچنین، مقایسه طیف‌های پیرسازی تسریعی در شرایط دما و رطوبت، بر حفاظت آثار چوبی در مقابل عوامل محیطی و تخریب ناشی از آن دلالت دارد. نتایج پیرسازی تسریعی با نور UV نشان می‌دهد که نانوکامپوزیت مورداستفاده علاوه‌بر خواص ضدقارچی اثر حفاظتی در شرایط محیطی و نور UV داشته و از تخریب چوب جلوگیری می‌کند.

## پی‌نوشت

۹

1. Consolidant
2. Poly-isobutyl methacrylate
3. Polylauryl methacrylate
4. band gap energy به اختلاف انرژی بین حد بالای نوار ظرفیت و حد پایین نوار رسانش، گفته می‌شود. این باند کمترین انرژی از نور مورد نیاز برای ایجاد رسانش الکتریکی است (Ohama et al., 2011: 8).
5. Multifunctional
6. Hypocrea lixii
7. Mucor circinelloides
8. Populus spp.
9. Sapwood
10. Malt Extract Agar
11. Findlay
12. PHILIPS TUV 15W G15T8 Ultra-Violet UV-C lamp
13. Simultaneous
14. Sequential decay

## منابع و مأخذ

- حدادی، محمد (۱۳۸۹). طراحی محفظه‌هایی جهت نگهداری و حفاظت آثار کاغذی با استفاده از نانوذرات دی‌اکسید تیتانیوم، پایان‌نامه کارشناسی ارشد، اصفهان: دانشگاه هنر.
- محمدی آچاچلویی، محسن (۱۳۸۸). ارزیابی کاربرد نانوکامپوزیت در حفاظت آثار چوبی در برابر آسیب‌های بیولوژیک. پایان‌نامه کارشناسی ارشد، اصفهان: دانشگاه هنر.
- محمدی آچاچلویی، محسن (۱۳۹۱). ارزیابی مقاومت سه استحکام‌بخش (پلی‌اتیل متاکریلات، پلی‌وینیل بوتیرال و پلی‌وینیل استال) در برابر پوسیدگی سفید. طرح پژوهشی، بنیاد علمی تخصصی نیروهای مسلح.
- هرنده، دانیال؛ احمدی، حسین و محمدی آچاچلویی، محسن (۱۳۹۲). کاربردهای نانوذرات دی‌اکسید تیتانیوم در حفاظت و نگهداری اشیای دارای ساختار سلولی، اولین همایش ملی نانوتکنولوژی مزايا و کاربردها. همدان: انجمن ارزیابان محیط‌زیست هگمتانه.
- Afsharpour, M., & Hadadi, M. (2013). Titanium Dioxide Thin Film: Environmental Control for

- Preservation of Paper-Art-Works. **Journal of Cultural Heritage**. Retrieved (2013) from: <http://dx.doi.org/10.1016/j.culher>.
- Afsharpour, M. Rad, F. T. & Malekian, H. (2011). New Cellulosic Titanium Dioxide Nanocomposite as a Protective Coating for Preserving Paper-Art-Works. **Journal of Cultural Heritage**, Vol. 12, No. 4: 380-383.
  - Bastioli, C. (Ed.) (2005). **Handbook of Biodegradable Polymers**. iSmithers Rapra Publishing.
  - Benedix, R. Dehn, F. Quaas, J. & Orgass, M (2000). Application of titanium dioxide photocatalysis to create self-cleaning building materials. Lacer, 5, 157-168.
  - Blanchette, R. A. (2000). A Review of Microbial Deterioration Found in Archaeological Wood from Different Environments. **International Biodeterioration & Biodegradation**, Vol. 46, No.3: 189-204.
  - Bravery, A. (1979). A Miniaturised Wood-Block Test for the Rapid Evaluation of Preservative Fungicides. In: **Proceedings Symposium International Research Group on Wood Preservation. Screening Techniques for Potential Wood Preservative Chemicals**, vol. 136: 57-65.
  - Cappitelli, F. & Sorlini, C. (2008). Microorganisms Attack Synthetic Polymers in Items Representing Our Cultural Heritage. **Applied and environmental microbiology**, Vol. 74, No.3: 564-569.
  - Cappitelli, F., Principi, P., Pedrazzani, R., Toniolo, L., & Sorlini, C. (2007). Bacterial and Fungal Deterioration of the Milan Cathedral Marble Treated with Protective Synthetic Resins. **Science of the total environment**, Vol. 385, No. 1: 172-181.
  - Cappitelli, F., Zanardini, E., & Sorlini, C. (2004). The Biodeterioration of Synthetic Resins Used in Conservation. **Macromolecular bioscience**, Vol. 4, No.4: 399-406.
  - Corning, D. (1998). **Degradation of Polymers in Nature. Health Environment & Regulatory Affairs (HERA)**, New York.
  - Daoud, W. A., Xin, J. H., & Zhang, Y. H. (2005). Surface Functionalization of Cellulose Fibers with Titanium Dioxide Nanoparticles and Their Combined Bactericidal Activities. **Surface Science**, Vol. 599, No. 1: 69-75.
  - Dardes, K., & Rothe, A. (1995). The Structural Conservation of Panel Paintings. In **Proceedings of a Symposium at the J. Paul Getty Museum** (pp. 24-28).
  - De Filpo, G., Palermo, A. M., Rachiele, F., & Nicoletta, F. P. (2013). Preventing Fungal Growth in Wood by Titanium Dioxide Nanoparticles. **International Biodeterioration & Biodegradation**, Vol. 85: 217-222.
  - El-Din, N. M. S., & Sabaa, M. W. (2007). Thermal Degradation of Poly (vinyl butyral) Laminated Safety Glass. **Polymer degradation and stability**, Vol. 47, No. 2: 283-288.
  - Faix, O., Bremer, J., Schmidt, O., & Tatjana, S. J. (1991). Monitoring of Chemical Changes in White-Rot Degraded Beech Wood by Pyrolysis—Gas Chromatography and Fourier-transform Infrared Spectroscopy. **Journal of Analytical and Applied Pyrolysis**, Vol. 21, No.1: 147-162.
  - Gu, J. D. (2003). Microbiological Deterioration and Degradation of Synthetic Polymeric Materials: Recent Research Advances. **International biodeterioration & biodegradation**, Vol. 52, No. 2: 69-91.
  - Hamilton, N. F., & Barry, S. (1983). Biodeterioration of Flexible Polyvinylchloride Films by Fungal Organisms. In **Biodeterioration 5: papers presented at the 5th international biodeterioration symposium aberdeen**, september 1981 (pp. 663-700), John wiley.
  - Heyn, C., Petcrsen, K., Krumbein, W.E. (I996). Untersuchungen zum mikrobiellen Abbau in

- der Denkmalpflege Eingesetzter Synthetischer Polymere. **Zeitschrift für Kunsttechnologie und Konservierung**, Vol. 10: 87-106.
- Honda, H., Ishizaki, A., Soma, R., Hashimoto, K., & Fujishima, A. (1998). Application of Photocatalytic Reactions Caused by TiO<sub>2</sub> Film to Improve the Maintenance Factor of Lighting Systems. **Journal of the Illuminating Engineering Society**, Vol. 27, No.1: 42-49.
  - Inoue, M. (1983). Study of Fungal Contamination of Agricultural Polyvinylchloride Film in Japan. In **Biodeterioration 5: papers presented at the 5th International Biodeterioration Symposium**, Aberdeen, September, 1981/edited by TA Oxley and S. Barry.
  - Kangwansupamonkon, W., Lauruengtana, V., Surassmo, S., & Ruktanonchai, U. (2009). Antibacterial Effect of Apatite-coated Titanium Dioxide for Textiles Applications. **Nanomedicine: Nanotechnology, Biology and Medicine**, Vol. 5, No.2: 240-249.
  - Kawai, F., & Hu, X. (2009). Biochemistry of Microbial Polyvinyl Alcohol Degradation. **Applied microbiology and biotechnology**, Vol. 84, No.2: 227-237.
  - Kim, J. Y., & Yoon, J. Y. (2008). Developing a Testing Method for Antimicrobial Efficacy on TiO<sub>2</sub> Photocatalytic Products. **Environmental Engineering Research (EER)**, Vol.13, No.3: 136-140.
  - Koestler, R. J., & Santoro, E. D. (1988). Assessment of the Susceptibility to Biodeterioration of Selected Polymers and Resins .Final Report Submitted to the Getty Conservation Institute.
  - Kubicek, C. P. (Ed.). (2012). **Fungi and Lignocellulosic Biomass**. John Wiley & Sons.
  - Leja, K., & Lewandowicz, G. (2010). Polymer Biodegradation and Biodegradable Polymers—A review. **Pol J Environ Stud**, Vol.19: 255-66.
  - Maneerat, C., & Hayata, Y. (2006). Antifungal Activity of TiO Photocatalysis against Penicillium Expansum in Vitro and in Fruit Tests. **International Journal of Food Microbiology**, vol. 107, No.2: 99-103.
  - Maness, P. C., Smolinski, S., Blake, D. M., Huang, Z., Wolfrum, E. J., & Jacoby, W. A. (1999). Bactericidal Activity of Photocatalytic TiO<sub>2</sub> Reaction: Toward an Understanding of Its Killing Mechanism. **Applied and Environmental Microbiology**, Vol. 65, No.9: 4094-4098.
  - Mohan, K. (2011). Microbial deterioration and degradation of polymeric materials. **Journal of Biochemical Technology**, Vol. 2, No.4: 210-215.
  - Ohama, Y., & Van Gemert, D. (Eds.) (2011). **Application of Titanium Dioxide Photocatalysis to Construction Materials: State-of-the-art Report of the RILEM Technical Committee 194-TDP** (Vol. 5). Springer.
  - Pandey, K. K. (1999). A study of Chemical Structure of Soft and Hardwood and Wood Polymers by FTIR Spectroscopy. **Journal of Applied Polymer Science**, Vol. 71, No.12: 1969-1975.
  - Pandey, K. K., & Pitman, A. J. (2003). FTIR Studies of the Changes in Wood Chemistry Following Decay by Brown-Rot and White-Rot Fungi. **International Biodeterioration & Biodegradation**, Vol. 52, No.3: 151-160.
  - Roberts, W. T., & Davidson, P. M. (1986). Growth characteristics of selected fungi on polyvinyl chloride film. **Applied and environmental microbiology**, Vol. 51, No. 4: 673-676.
  - Rosu, D., Teaca, C. A., Bodirlau, R., & Rosu, L. (2010). FTIR and Color Change of the Modified Wood as a Result of Artificial Light Irradiation. **Journal of Photochemistry and Photobiology B: Biology**, Vol. 99, No. 3: 144-149.

- Rowell, R. M. (Ed.) (2012). **Handbook of wood chemistry and wood composites**. CRC press.
- Schniewind, A. P. (1998). Consolidation of Wooden Panels, In: Dardes K, Rothe A (Eds), The Structural Conservation of Panel Paintings. **Proceedings of a symposium at the J. Paul Getty Museum**, 24-28 April 1995, Los Angeles: Getty Conservation Institute, 87-107.
- Schwanninger, M., Rodrigues, J. C., Pereira, H., & Hinterstoisser, B. (2004). Effects of Short-Time Vibratory Ball Milling on the Shape of FT-IR Spectra of Wood and Cellulose. **Vibrational Spectroscopy**, Vol. 36, No.1: 23-40.
- Schwarze, F. W. (2007). Wood Decay under the Microscope. **Fungal Biology Reviews**, Vol. 21, No.4: 133-170.
- Sequeira, S., Cabrita, E. J., & Macedo, M. F. (2012). Antifungals on Paper Conservation: An Overview. **International Biodeterioration & Biodegradation**, Vol. 74: 67-86.
- Snyder, A., Bo, Z., Moon, R., Rochet, J. C., & Stanciu, L. (2013). Reusable photocatalytic titanium dioxide-cellulose nanofiber films. **Journal of colloid and interface science**, Vol. 399: 92-98.
- Stamate, M., & Lazar, G. (2007). **Application of titanium dioxide photocatalysis to create self-cleaning materials**. Romania: Bacau University, Bacau, Calea Marasesti (157).
- Sunada, K., Watanabe, T., & Hashimoto, K. (2003). Bactericidal Activity of Copper-Deposited TiO<sub>2</sub> Thin Film under Weak UV Light Illumination. **Environmental Science & Technology**, Vol. 37, No. 20: 4785-4789.
- Traistaru, A. A. T., Timar, M. C., Campean, M., Croitoru, C., & Sandu, I. (2012). Paraloid B72 Versus Paraloid B72 with Nano-ZnO Additive as Consolidants for Wooden Artefacts. **Materiale Plastice**, Vol. 49, No. 4: 293-300.
- Uddin, M. J., Cesano, F., Bonino, F., Bordiga, S., Spoto, G., Scarano, D., & Zecchina, A. (2007). Photoactive TiO Films on Cellulose Fibres: Synthesis and Characterization. **Journal of Photochemistry and Photobiology A: Chemistry**, Vol. 189, No. 2: 286-294.
- Unger, A., Schniewind, A., & Unger, W. (2001). **Conservation of Wood Artifacts: A Handbook**. Springer.
- Wang Y. & Schniewind, A.P. (1985). Consolidation of Deteriorated Wood with Soluble Resins, **Journal of the American Institute for Conservation**, Vol. 24, No. 2: 77 – 91.
- Wang, H., Lu, G., Zhang, J., & Zheng, D. (2013). Multifunctional Nanocomposites for Paper Conservation. **Studies in Conservation**, Vol. 58, No.1: 23-29.
- Willieitner, H. (1965). Über die mykologische Prüfung. Von Holzspanplatten. Materialpruf, Vol.7, No. 4: 129 – 134.
- Wong, Y. W. H., Yuen, C. W. M., Leung, M. Y. S., Ku, S. K. A., & Lam, H. L. I. (2006). Selected applications of nanotechnology in textiles. **AUTEX Research Journal**, Vol. 6, No. 1: 1-8.



Received: 2014/08/25

Accepted: 2016/11/15

## Assessing the Application of Titanium Dioxide ( $TiO_2$ ) Nanoparticles in the Resistance Improvement of Polyvinyl Butyral (PVB) Consolidant against the Wood White-Rot Fungus

Danial Harandi\* Hosseyn Ahmadi\*\*

Mohsen Mohammadi Achachluei\*\*\*

### Abstract

The synthetic polymers are widely used as adhesives, consolidants and protective coatings in the conservation of historic relics. Although, compared to the natural polymers and adhesives, these materials present a better resistance against the microorganisms, most synthetic polymers remain appropriate sources of Carbon and energy for the growth of microorganism; in addition, the relics consolidated with these materials will still remain vulnerable to the microorganisms and fungi, leading to a sort of degradation whose progress will, nonetheless, be accelerated with the environmental factors and ultraviolet light. Therefore, preventing the microorganism from attacking the relics, as well as increasing their impact resistance against the environmental conditions are necessary. In this study, in order to maintain the antifungal properties in PolyVinyl Butyral (PVB),  $TiO_2$  nanoparticles were employed; anatase-type  $TiO_2$  nanoparticles were used in PVB to prepare the nanocomposites. Also, the Samples were made of Poplar wood (*Populus spp.*) in accord with the Bravery guidelines, treated by the Titanium Dioxide nanocomposite under vacuum conditions. Afterwards the samples were separately affected in the dark and under the daylight conditions by the wood white-rot fungi (*Trametes versicolor*) as a deterioration active, for the duration of seven weeks. The treated and untreated samples were placed under the accelerated aging condition (temperature, humidity and UV light). The results indicate that the wood samples treated with 1% of Nano- $TiO_2$  (0.4g) in 5% PVB, placed in the dark, did not have any antifungal effect, while the amount of 2% (0.8g) could protect the wood against the white-rot fungus degradation in the darkness conditions. The inoculated samples with the amounts of 1% and 2% of Nano- $Ti_2O$ , in the light conditions, could also create antifungal properties in the treated samples with nanocomposite, and protected the wood against the white-rot fungus. The accelerated aging of the treated samples with consolidant without nanoparticles of  $Ti_2O$  and the treated ones with nanocomposite under the heat, humidity and UV light conditions demonstrates that the treated samples were protected against the degradation, ultraviolet light and the environmental conditions.

**Keywords:** Titanium dioxide nanoparticles, nanocomposite, PolyVinyl Butyral, *Trametes versicolor* fungus, white-rot, wood, conservation.

---

\* Master of art in the Conservation and Restoration of Historic and Cultural Properties, Faculty of Conservation, Art, University of Isfahan, Isfahan, IRAN [daniel.harandi@gmail.com](mailto:daniel.harandi@gmail.com)

\*\* Associate Professor , Faculty of Conservation, Art University of Isfahan, Isfahan, IRAN

\*\*\* Assistant professor the Conservation and Restoration of Historic and Cultural Properties, Faculty of Conservation, Art University of Isfahan, Isfahan, IRAN